

# 磁性材料

[英]F·蒲兰斯福特 著

科技卫生出版社

## 內容提要

本书是由 Magnetic Materials 一书譯出，專論磁性材料，內容簡明扼要，对研究和使用者給出了这一方面的輪廓，使讀者以后作进一步的研究是有帮助的。第一到第四章是关于一般磁鐵理論，第五和第六章分別叙述了鐵合金、硅鐵合金、鎳鐵合金以及其他合金，最后一章专論永久磁鐵材料。

## 磁 性 材 料

MAGNETIC MATERIALS

原著者 (英)F. Brailsford  
原出版者 Methuen & Co. Ltd.  
(London) 1954年版  
譯者 夏 承 達

\*  
科 技 卫 生 出 版 社 出 版  
(上海南京西路 2004 号)

上 海 市 善 刊 出 版 业 营 业 许 可 证 出 093 号

上 海 勞 動 印 制 厂 印 刷 新 华 书 店 上 海 发 行 所 总 经 销

\*  
开本 787×1092 耗 1/32·印张 4 1/8 字数 96,000

1959 年 2 月第 1 版 1959 年 2 月第 1 版 第 1 次印刷

印数—6,000

统一书号：15119 · 1136

定 价：(十二) 0.48 元

## 原序

这本小册子的目的是对高等学校学生、研究工作者和在技术上使用磁性材料有关者给出一个现代磁性材料的概括的轮廓。本书所讲的一定是很简单的，但是希望不够详尽之处在每章所附的参考资料中能作一些补偿。

作者在写本书时所发现一些有帮助的书籍和摘录都列在次页，并对这些作者和曾查閱的、引为参考資料的原始出处表示感谢，尤其是 Metropolitan Vicks 电气公司，允许将其尚未发表的資料叙述于本书；作者之妻帮助写稿，也致以謝意。

## 第二版序

在本书第二版时，有机会在某些方面作了修改，并增加了一些最近的参考資料。

## 目 录

### 原 序

第一章 緒言 .....	1
第二章 鐵磁現象 .....	17
第三章 单晶体的性質与理論 .....	31
第四章 影响磁性的因素 .....	53
第五章 鐵合金与硅鐵合金 .....	73
第六章 鎳鐵合金及其他合金 .....	95
第七章 永久磁鐵材料 .....	115

# 第一章 緒言

## 1-1 磁化

“磁性材料”这一名称可以說是包括一切显示磁效应的物质；但是在那些所謂抗磁性或順磁性的物质中，磁效应是非常微弱的，因而工程人員通常認為它們是“非磁性的”。在本书中我們将主要地談到以鐵为最重要的那一类元素和合金，这些元素和合金显出非常程度的磁性而被称为“鐵磁性的”。

如果如图 1-1 所示，把一块軟鐵放在一个磁场中，磁就被感应到里面，而在它的两端呈現了北极和南极。这些感应极的效果就是增加軟鐵外面、接近两极的介质中的磁场强度，但是却減低了四边周围介质中的磁场强度，事实上也減低了軟铁現在所占据空間內的磁场强度。除非軟鐵試样是一种特殊的形状，否則这个試样不会从一端到另一端都被均匀地磁化；但是按現在的目的來說，这点可予忽略。設两个感应极中每一个极的磁极强度都为  $m$ ，鐵的长度为  $l$ ，那末它的磁矩  $M = ml$ 。我們可以把鐵的磁化强度解釋为单位体积的磁矩，用了  $J$  来表示。因此，

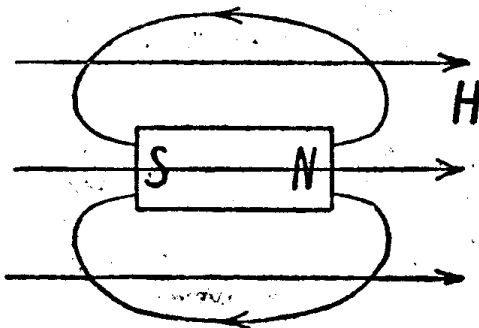


圖 1-1

如果体积为  $V$ , 截面为  $A$ , 显然

$$J = \frac{M}{V} = \frac{m}{A};$$

所以磁化强度也可以說是每一单位面积的磁极强度。

假如, 当磁极集中于一点, 一个磁极在真空中以1达因的力排斥距离为1厘米的相等和同性的磁极时, 这时磁极可說是具有单位强度。如果这样一个磁极放在磁场之中, 那末这一点上的磁场强度可以解釋为这个单位磁极所感受的以达因表示的力。

讓我們現在用一块假定是自由旋轉的永久磁鐵来代替图1-1 所示的軟鐵。我們假設这块磁鐵的材料是这样硬磁性的,

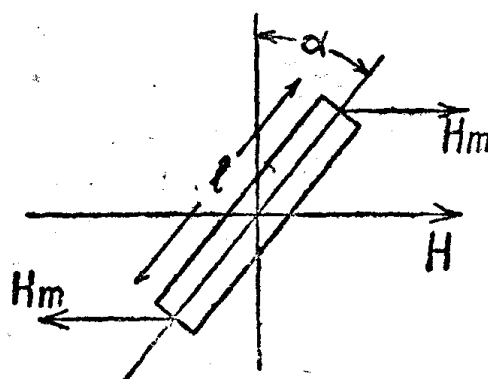


图 1-2

就是說, 磁場  $H$  对于磁鐵的永久磁性沒有显著的影响。如果磁极有强度  $m$ , 那末在每一个磁极上都被施加力  $H_m$ , 如图 1-2 所示; 設磁鐵长度为  $l$ , 并且如图所示倾斜于磁场, 那末作用到磁鐵上的单位体积的轉

矩  $L$  可以用下式求得,

$$L = H \cdot \frac{ml}{V} \cdot \cos \alpha$$

或

$$L = H J_m \cos \alpha$$

式中  $J_m$  为磁鐵的永久磁化强度。显然, 由于这个轉矩, 磁鐵能够轉向磁场方向中作功, 因而在任何角度  $\alpha$  上, 磁鐵在磁场中都

具有勢能。如果我們取相應于  $\alpha = 0$  的能量級以為基准，它的勢能假定為零，那末相應于  $\alpha$  角的每單位體積的勢能可以由下式得出，

$$E = - \int_0^\alpha L d\alpha = - H J_m \sin \alpha$$

如果  $J = J_m \sin \alpha$  是循磁場方向磁化強度的分解部分，那末勢能由下式求得，

$$E = - H J$$

很明顯，如果把磁鐵移動  $d\alpha$ ， $J$  增大  $dJ$ ，那末勢能也就隨之改變  $dE = - H dJ$ 。假如磁鐵在粘滯介質中移動，這種勢能的降落可以在介質中重呈現為熱；如介質是導電性的話，磁鐵的移動可以在其中造成使能量散逸的渦流。然而這種介質可能是完全彈性的，那末在這情形下，勢能的減低會由儲存在介質中的增加能量予以準確地平衡。在任何情形下，儲存的能量和散逸的熱量之總和可由下式得出：

$$E = \int_{J_1}^{J_2} H dJ$$

讓我們現在就一根均勻的長鐵棒來論，使它在一個平行的外加磁場中磁化，例如被一個長形載流螺管所磁化。接近鐵棒中心的場合，它的磁化情況將是均勻的，因為兩端的感應極距離很遠。假設在鐵棒中取一個單位立方體的材料，如圖 1-3 所示，各邊被一個極薄的空隙所分離。這個空隙可以是無限薄的，所以對於鐵棒中的均勻磁化情況並無影響。如圖所示，外加磁場  $H$  的效應將會在立方體的任何一端以及在相應空隙的任何一邊感應北磁極和南磁極。如果說  $J$  是鐵棒中的磁化強度，那末  $J$  就是立方體的每端和空隙的任何一邊的磁極強度。假使現在我

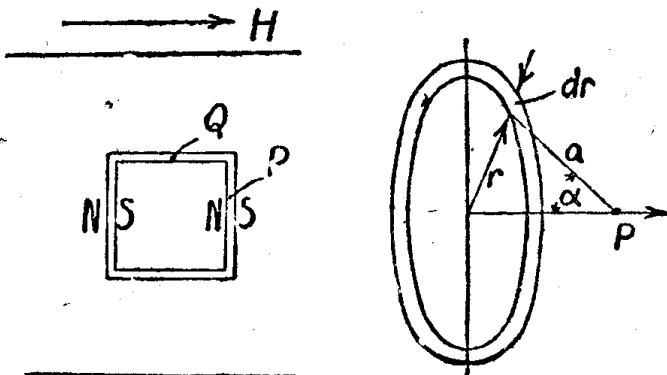


图 1-3

们在空隙  $P$  点中插入一个单位磁极。立方体表面上的以  $r$  为半径及  $dr$  为宽度的环形单元，它的磁极强度很明显是  $2\pi r J dr$ ；如果这环形单元对  $P$  点形成半垂直的  $\alpha$  角，就很清楚，这个环形单元对  $P$  点上单位磁极所产生循軸向的总力，可用  $dF$  求得，其式为：

$$dF = \frac{2\pi r J \cos \alpha dr}{a^2}$$

这式可写为

$$dF = 2\pi J \sin \alpha d\alpha$$

因为  $P$  很近于表面，整个表面在单位磁极上所产生的总力，可由上式取  $\alpha$  在  $0$  及  $\frac{\pi}{2}$  极限間积分而得；因此，

$$\begin{aligned} F &= \int_0^{\frac{\pi}{2}} 2\pi J \sin \alpha d\alpha \\ &= 2\pi J \end{aligned}$$

故立方体面对  $P$  点上单位磁极所产生的力为  $2\pi J$ ；又因  $P$  是处于既相等又相反的磁极强度的面之間，由这两个面所产生的总力则为  $4\pi J$ 。同时在立方体各边的空气隙中的任何点  $Q$  上

是没有自由极的，因而在单位磁极上的总力仅仅是由外加磁场 $H$ 所产生的力，而这个磁场也是在 $P$ 点上的。所以在 $P$ 点单位磁极上的总力为 $H + 4\pi J$ 。这就称为磁感应，用 $B$ 来表示。因此

$$B = H + 4\pi J$$

此式也可写为

$$(B - H) = 4\pi J$$

$\frac{B}{H}$  之比称为材料的磁导率，而  $\frac{J}{H}$  之比称为磁化率，各用  $\mu$  和  $K$  来表示。所以很清楚地，

$$\mu = 1 + 4\pi K$$

磁化曲线可以用  $B$  为纵坐标， $H$  为横坐标来描绘，或者交替地用  $J$  或  $(B - H)$  为纵坐标。前者  $B - H$  曲线对于要计算磁感应的工程人员来说为最有用的形式，但后者以  $J$  或  $(B - H)$  为纵坐标的曲线（有时称为铁磁感应）对于研究和比较磁性材料具有较大价值。磁感应的电磁制单位为高斯，在本书中，对磁场强度的单位也使用这名称，所以  $(B - H)$  或  $4\pi J$  也是用高斯为单位。

图 1-4 表示一块普通发电机钢片试样的磁化曲线。这个磁化曲线是任何具有适当纯度、经过良好退火、并且处于“软”态的磁性材料的典型试样；从不同标度的  $H$  值所绘出的 (a) 和 (b) 两根曲线中，可以看出它的特性。在 (b) 处所绘的两根曲线，一根是以  $B$  为纵坐标的曲线，一根是以  $4\pi J$  或  $(B - H)$  为纵坐标的曲线。磁化曲线可以分为四部分，不十分确定地重叠于  $P$ 、 $Q$ 、 $R$  各点。与低  $H$  值相应的曲线第一部分  $OP$  是可逆的，在这区域内  $B$  仅是很缓慢地随  $H$  而增加。在起点  $O$  上曲线正切的

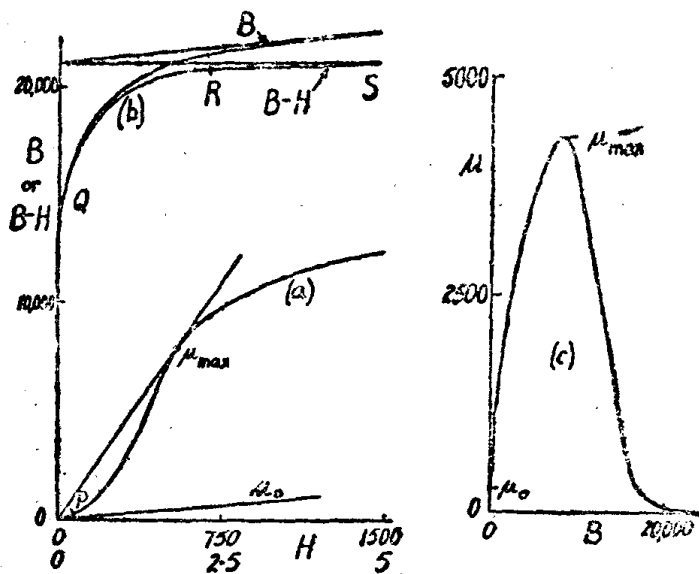


图 1-4 退火的发电机钢片的磁化曲线

斜度表示  $H=0$  时的磁导率或起始磁导率  $\mu_0$ 。在  $PQ$  区域中，磁感应随  $H$  的增强而增长得更快；如图所示，曲线的正切可定出最大磁导率点  $\mu_{max}$ 。这部分的磁化曲线性质上是不可逆的，就是說，如果在这部分的任何一点上  $H$  值减小时， $B$  值不会再循增加  $H$  的曲线减小。要进一步把  $B$  增加到  $Q$  点以上，那就須大大地增加  $H$  才能获得，很清楚，磁化过程机构中的变化发生在  $Q$  点的区域内，这一点通常称之为曲线的膝。如  $H$  仍然繼續增加时， $(B-H)$  曲线如  $RS$  所显示那样几乎成水平的形状，于是  $(B-H)$  或  $4\pi J$  达到饱和值  $(B-H)_{饱和} = 4\pi J_s$ 。应予注意，这是饱和的磁化强度  $J_s$ ，而磁感应  $B$  仍能无限制地繼續增长。图 1-4 (c) 所示的磁导率曲线显示  $B$  和  $H$  间的非直线关系。在这个例子中，磁导率是从  $\mu_0 = 250$  升高到  $\mu_{max} = 4,000$ ，而在  $B = 23,000$  高斯时，重行降落到  $\mu = 11.5$ 。图上所示的曲线，如

已說明对于良好退火的材料來說是代表性的形式；当然，不是  $B$  和  $H$  的真正的量值，因为  $B-H$  值是随不同材料有显著的不同。但是不經退火而加工硬化的同一材料，虽最后达到同一飽和值，却获得极其恶劣的曲線。

## 1-2 磁滞

前节已經說过，在磁化曲線的某些部分，尤其在图 1-4 的  $PQ$  区域是不可逆的。这种情况引起攸莫 (Ewing) 从希腊語“落后” (Hysteresis) 所轉来的磁“滞”名称的現象。图 1-5 (b) 示变压器鋼片的磁化曲線，当  $H$  从起始磁化曲線  $OP$  的  $P$  点減

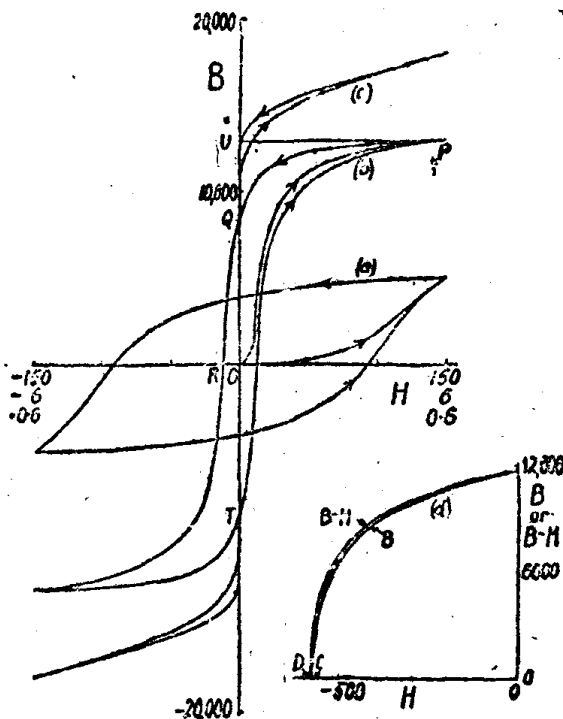


图 1-5 4% 硅变压器钢的磁滞回线 (a) (b) (c)  
及永久磁铁材料的去磁曲线 (d)

小时，磁感应却沿着  $PQ$  途徑減小。在外加磁场減到零值的  $Q$  点时，相当于称为頑磁  $OQ$  的磁感应留剩在試样之中；如果，要把这个磁感应減到零值时，就需要相当于  $OR$  的反向磁场强度。这个反向的磁场强度称为矯頑力。对于一个在前进和相反方向中用相同幅度的  $H$  值的整个循环，它的  $B$  和  $H$  之間的关系是由磁滞回綫所决定的，图中所示箭头指途徑的方向。磁滞回綫的外貌完全依据图 1-5 (a)(b)(c) 所示回綫极端的幅度而定，图中三个綫图的横座标标度包括  $H$  的广闊范围。在所施加的  $H$  的幅度足以产生饱和的那种磁滞回綫中，其頑磁点上的磁感应就称为頑磁强度，而相应的矯頑力称为矯頑强度。

前面已經講过，一个外加磁场提高磁化强度所需的能量可以用适当的极限的  $\int H dJ$  来求得。因此，从图 1-5 (b) 中就很清楚，假如这个回綫用  $J$  而不用  $B$  縱座标标度来繪制，那末循回綫途徑从  $T$  到  $P$  时所投入試样每单位体积的总能量可以用  $TPU$  面积来測量。当  $P$  回到  $Q$  时，試样回复能量，这个每单位体积的回复能量用  $J$  作为縱座标則可用  $PQU$  面积来表示。因此，从  $T$  到  $Q$  繞过半个磁滞回綫时投入試样中所超过回复的能量可以  $TPQ$  面积来表示。事实上在环繞整个回綫时，散逸为热的能量，称为磁滞损失，如用  $J$  和  $H$  标度作图时，就可以用整个磁滞回綫的面积来測量。如果縱座标标度是  $(B-H)$  或  $4\pi J$ ，那末可以簡易地把面积除以  $4\pi$  就求出磁滞损失。在后者的情形中，略加思索就可明确，縱座标标度从  $(B-H)$  改变到  $B$  时，并不影响回綫面积的改变。因此，以  $B$  和  $H$  作标度的磁滞回綫的面积就是  $4\pi$  乘磁滞损失的測量，它的 CGS 制单位即为每周每立方厘米的尔格。

在变压器和旋转电机的配件中，所使用的磁性材料遭受迅

速的交变感应。因此，在这些装置中，磁滞循环是重复不断的，例如在工业频率的变压器中为每秒 50 周。这样所产生的磁滞损失导致效率的损失，并使这种装置中发生温度的上升，所以需用低磁滞损失的材料。图 1-5 (a) 表示的是与此相反的永久磁铁材料的一部分饱和磁滞回线。这种特殊磁性材料需要最高可能的磁滞效应，并须具有高矫顽强度和剩磁强度，其理由将在第七章中详述；图中所示的这一部分磁滞回线，即称为去磁曲线，就是鉴定永久磁铁材料品质的特征。如果去磁曲线取  $4\pi J$  或  $(B-H)$  作为纵坐标标度，这根曲线（这里要注意  $H$  是负值的），将如图所示的高于  $B$  曲线。这根线截割  $H$  轴于 C 点左面的 D 点，按照上述定义，这一点就是真正矫顽强度。C 点和 D 点之间的差异在商用永久磁铁材料上并不很大，但是在某些合金上能相差甚巨。在比较用  $J$  或用  $B$  作为纵坐标的去磁曲线时，应该记住这种差异。

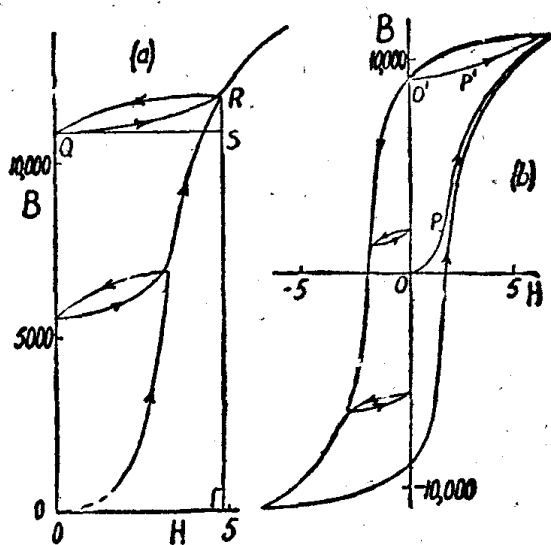


图 1-6 钢试样的辅助磁滞回线(英寸)

图 1-6 (a) 表示一个軟鐵試样<sup>[1]</sup> 的补助磁滯回線，这回線可以在增加外加磁場的过程中，磁場被減到零，然后再施加时所形成。图 1-6 (b) 表示在另一純鐵試样的主回線过程中所形成的相似的补助回線。很清楚，一个遭受这种不規則磁化循环的試样将有各相应补助回線所附加面积的附加磁滯損失。

这些曲線也足以加強了  $B$  和  $H$  间的关系是根据試样以前磁化历史的另一觀点。图 1-4 和 1-5 所示起始磁化曲線和后来的磁滯回線都是有关在試驗前去磁以使剩余磁化值減到零的試样。去磁普通是将試样放在檢驗装置中反复地遭受从高值到零值的相反反应。如不用这种步驟去磁，磁化曲線将如图 1-6 (b) 中  $O'$  点的剩余磁化强度开始。現在的起始磁化曲線，如系逐步确定，将会以  $O'$  为起点沿着  $O'P'$  伸展；这曲線和真实曲線  $OP$  相差很大。如果試驗繼續进行以使描繪一个正常的磁滯回線，那末我們會发现回線本身不能閉合，而且在材料达到“循环状态”之前，需要完成許多循环才能使連續的磁滯回線符合为一。

在这些应用中，例如滤波电抗器和交流发电机中，磁性材料可以有一个其中也存在單向恒定外加磁場的交变感应。在这情形中，虽然回線的极端不在图中所示的各点而可能在其他各点上，但磁化循环仍可被图 1-6 (a)  $QR$  所示的补助回線所代表。

对于回線  $QR$ ，現在或附加磁导率  $\mu_\Delta$  可以用  $\mu_\Delta = \frac{RS}{QS}$  之比来表示，这个比率显然低于  $RS$  对  $RT$  之比的、在起始磁化曲線中  $R$  点相应的磁导率。一个恒定外加磁場的效应不但减小对于一个重叠交变感应的現在磁导率，而且也增加对于一个一定幅度交变感应的每一循环的磁滯損失。这些数据見于第五章。

虽然对于軟磁性材料，由于回線的上升边和下降边之間的

差异较小，要在較高感应上作一准确测定更为困难，但对于与磁滞回线緩慢过程相应的磁滞損失，即所謂靜磁滯損失仍可以用測量回線面积的方法而很容易求得。取一个盘形試样，使它在恒定磁场中旋转而經過交变磁化的循环。在緩慢旋转中，每旋转一次所作的平均功等于每一循环的靜磁滯損失。用一个包括几个盘形物的試样，測量旋转試样的轉矩可以准确地决定到很高磁感应的磁滯損失<sup>[2]</sup>。

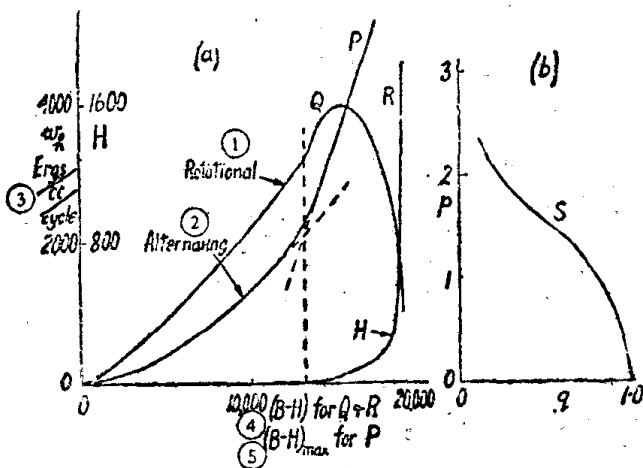


图 1-7 (a) 变压器铜片的交变和旋转磁滞损失曲线的形状; (b) 旋转和交变磁滞损失之间的关系:  $\rho$  为交变损失对旋转损失之比,  $q$  为  $(B-H)$  或  $(B-H)_{\max}$  对  $(B-H)$  饱和值的数值。

① 旋轉 ② 交變 ③ 尔格/厘米<sup>3</sup>/周 ④  $Q$  和  $R$  的  
 $(B-H)$  ⑤  $\varphi$  的  $(B-H)_{\max}$

图 1-7(a) 中曲线  $\phi$  表示, 对软磁性材料在静交变磁滞损失和  $(B-H)$  的幅度或  $(B-H)_{\max}$  间的关系的一般形状; 除在高感应外, 这  $(B-H)$  幅度与  $B$  有很大差异。在曲线的下部分, 斯坦因梅兹 (Steinmetz) 的经验方程式

可以用来較准确地符合所覈測的結果，式中  $W_h$  是在一个循环中每立方厘米尔格数的磁滯損失， $\eta$  和  $n$  是常数。但是，对于曲线的上部分，直線关系可以应用到曾予測量过的  $(B-H)_{\max}$  的最大值；其关系由下式求得，

$$w_h = b \{ (B - H)_{\max} - C \} \quad \dots \dots \dots \quad (1-2)$$

$$或 \quad w_h = b' \{ J_{\max} - c' \}$$

式中  $b$ ,  $c$ ,  $b'$  和  $c'$  都是常数。許多片材的斯坦因梅茲系数  $\gamma$  和各种常数列表于第五章中。如图 1-7(a) 所示, 所觀測得的曲綫从一种形状逐漸地走到另一种形状; 其轉折发生在磁化曲綫膝的区域。

如果一个磁性材料承受一个磁感应，这个感应的矢量，虽然在量上保持不变，是在一个方向繼續旋轉，那末将会发现磁化强度落后于产生磁化强度的施加旋转磁场一个空間角度。在这情形下，材料中能量的损失仍变为热量。旋转磁滞损失<sup>[3]</sup>和 $(B - H)$ 值間的关系用图 1-7(a) 的曲线  $Q$  表示，获得曲线  $Q$  的試样就是获得曲线  $P$  所用的盘形試样。可以看出，不連續性重又发生在如所示的曲线  $R$  的磁化曲线膝的区域中。旋转损失随磁化增强而上升达最大值，然后在饱和附近接近零值。曲线  $S$  表示交变磁滞损失对旋转磁滞损失之比与  $(B - H)$  或  $(B - H)_{\max}$  对  $(B - H)$  饱和值之比間的关系。这种关系是由作者所发现，作者做了一批对相同盘形試样交变的和旋转的測量。

### 1-3 渦流

在一个变压器的铁芯中，磁感应在理想上是正弦波形的交变感应。除非在波形被谐波所畸变的情况下，旋转电机的电枢也属如此，而在电枢齿后面的区域，发生交变磁通和旋转磁通合

并的现象。这些磁路是由按特殊应用的各级磁性材料绝缘薄片所组成，这类磁性材料归纳为“电工钢片”的总称。这样把磁通途径分片的目的是减小由于交变磁通所发生于钢中的傅科或涡流的大小和影响。这种涡流的方向平行于钢片表面，并垂直于磁感应的方向。它们建立一个相反于外加磁场的磁场；因而使磁通密度从表面连续地向内减低，于是在一定的外加磁场中减小了材料的磁通载运量。同时，流入钢片的涡流是发热或涡流损失的起源。

在数学上不能获得这效应的准确计算，因为磁滞回线所表示  $B$  和  $H$  间的关系是极其非直线的。假如将磁导率定为常数，也就是说，假如把磁滞回线通过起点缩成一个单纯直线，我们可以获得近似的解答。在这情形中，可以说明<sup>[4]</sup>，在叠片里面任何一点的瞬时磁感应  $b$  可以用下式求得，

$$b = B_0 \left( \frac{\cosh 2\phi x + \cos 2\phi x}{\cosh 2\phi a + \cos 2\phi a} \right)^{\frac{1}{2}} \cdot \cos(\omega t - v)$$

式中

$$\tan v = \frac{\sinh \phi(a-x) \cdot \sin \phi(a+x) + \sinh \phi(a+x) \cdot \sin \phi(a-x)}{\cosh \phi(a-x) \cdot \cos \phi(a+x) + \cosh \phi(a+x) \cdot \cos \phi(a-x)}$$

在上式中，表面层的磁通密度  $b_0 = B_0 \cos \omega t$ ，式中  $\omega = 2\pi f$ ， $f$  为外加磁场的频率。同样， $\phi = 2\pi \sqrt{\frac{\mu f}{\rho}}$ ，式中  $\mu$  和  $\rho$  各为钢片的磁导率和电阻率， $2a$  为钢片厚度。将可看到，磁感应的大小和相位都是依据从表面的距离而定。

图 1-8 表示，在每秒 50 周的频率时，各种厚度的普通品质的发电机叠片内所计算的磁感应量。所假定的数值是  $\mu = 2,500$ ， $\rho = 14,000$  电磁制单位。